

## 새로운 Acyclonucleoside의 합성 : 새로운 N<sub>1</sub>-Substituted 5-Fluorouracil 유도체의 합성과 그 특성에 관한 연구

鄭承浩 · 尹容鎮 · 李鍾光†

경상대학교 자연과학대학 화학과

(1990. 8. 24 접수)

## Synthesis of Novel Acyclonucleosides : Study on the Synthesis and Characteristics of New N<sub>1</sub>-Substituted 5-Fluorouracil

Seung Ho Jung, Yong Jin Yoon, and Chong Kwang Lee†

Department of Chemistry, Gyeongsang National University, Chinju 660-701, Korea

(Received August 24, 1990)

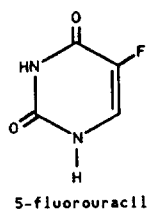
**요 약.** 합성된 2-chloroethyl acrylate를 출발물질로 이용하여 5-fluorouracil의 N<sub>1</sub>-위치에 각각 hydroxyethyl, acryloyloxyethyl, poly(acryloyloxyethyl)기를 가진 5-fluorouracil 유도체를 높은 수율로 얻었다. 이들 유도체들과 HCl과의 가수분해속도를 물-에탄올(1:1) 혼합용매에서 UV 분광기를 이용하여 측정하였다. 1-hydroxyethyl-5-fluorouracil, 1-acryloyloxyethyl-5-fluorouracil 및 Poly(1-acryloyloxyethyl-5-fluorouracil)의 가수분해속도는 각각  $k = 1.38 \times 10^{-4}/\text{sec}$ ,  $9.25 \times 10^{-5}/\text{sec}$ ,  $4.16 \times 10^{-5}/\text{sec}$  이었다. 또한, 합성된 5-fluorouracil 유도체의 열분해성에 대해 논의하였다.

**ABSTRACT.** N<sub>1</sub>-alkyl-5-fluorouracil derivatives from 2-chloro-ethylacrylate(CEA) were synthesized. The reaction of 5-fluorouracil(5-FU) with 2-chloroethyl acrylate gave 1-hydroxyethyl-5-fluorouracil(HEFU) in 70% yield. The treatment of HEFU with acryloyl chloride afforded 1-acryloyloxyethyl-5-fluorouracil (AOEFU). Poly(1-acryloyloxyethyl-5-fluorouracil)[Poly(AOEFU)] was also synthesized from 5-fluorouracil and Poly(CEA). The hydrolysis rates of N<sub>1</sub>-alkyl-5-fluorouracil derivatives were observed by means of UV spectrophotometer at 265 nm in ethanol-water(1:1);  $k$ =the constant of hydrolysis rate,  $k = 1.38 \times 10^{-4}/\text{sec}$  for HEFU,  $k = 9.25 \times 10^{-5}/\text{sec}$  for AOEFU,  $k = 4.16 \times 10^{-5}/\text{sec}$  for Poly(AOEFU). The differential thermal analysis and thermogravimetry of 5-fluorouracil derivatives have been discussed.

### 서 론

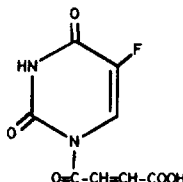
Yasmoto 등<sup>1</sup>에 의하여 처음으로 합성된 5-fluorouracil(5-FU)은 interferon을 생성시키는 항암제로 알려져 있다. 그러나 5-FU는 독성이 강하여 여러 가지 부작용이 수반되고, 투약 후 체외로의 배설이 빨라서 약효의 지속성이 적다고 알려졌다<sup>2,3</sup>. 따라서 독성이 적고 체내에 머무는 시간이 길어 약리효과<sup>4~7</sup>가 뛰어난 5-FU 유도체의 합성<sup>8~13</sup> 및 개발에 대한 연구<sup>14,15</sup>가 관심의 대상이 되고 있다.

그러한 연구의 일환으로 Butler 등<sup>16</sup>은 5-FU를 포함하고 있는 1-(2-carbomethoxy acryloyl)-5-fluo-



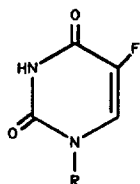
ruracil을 styrene이나 divinyl ether 또는 2-chloroethyl vinyl ether와 1:1 몰비로 혼성중합 시켰을 때 얻은 혼성중합체들의 가수분해속도가 그리고 leukemia cell에 대한 임상효과가 있음을 보고하였다.

또한 Masao Tada<sup>17</sup>는 약리효과를 증가시키고 부작용을 줄이기 위해 5-FU에 acetic acid기를 결합시켜 5-FU 유도체를 합성하였고, Akashi 등<sup>18,19</sup>은 acryl기가 결합된 uracil의 중합체가 interferon 효과를 나타낸다고 보고 하였으나, 항암성이나 독성 및 약효의 지속성 면에서 만족 할만한 연구결과는 보고되지 않고 있다.



1-(2-Carbomethoxy acryloyl)-5-fluorouracil

본 연구에서는 약효를 오래 지속시킬 수 있고 항암성이 우수한 5-FU의 고분자 유도체를 개발하기 위하여, acryl기를 포함하고 있는 2-chloroethyl acrylate(CEA) 단위체로부터 5-FU 유도체인 1-hydroxyethyl-5-fluorouracil(HEFU), 1-acryloyloxyethyl-5-fluorouracil(AOEFU), 및 poly(1-acryloyloxyethyl-5-fluorouracil)[Poly(AOEFU)]을 합성하고 아울러 이들 5-fluorouracil 유도체들에 대한 생체조건에서 가수분해속도 및 열적성질을 고찰하고자 하였다.



(R = CH<sub>2</sub>CH<sub>2</sub>OH, CH<sub>2</sub>CH<sub>2</sub>OOCCH=CH<sub>2</sub>)  
5-fluorouracil derivatives

## 실험

IR 스펙트럼은 Hitachi 270-50으로, <sup>1</sup>H-NMR 스펙트럼은 tetramethylsilane(TMS)를 기준물질로 사용하여 Bruker AW-80 분광기로 측정하였으며, UV 스펙트럼은 Beckman DU-70 분광기를 사용하였다. DTA 및 TGA는 Rigaku TG-DTA(PTC-10A)를, 원소분석은 Leco사 Micro Carbon Hydrogen Nitrogen determinator(CHN-800)을 각각 사용하였다. 또한 실험에 사용된 시약과 용매들은 사용전에 중류 및 탈수하여 사용하였다.

### 2-Chloroethyl acrylate(CEA)의 합성

300 ml 삼각플라스크에 염화칼슘관이 부착된 리비히 냉각기를 설치하고 2-chloroethanol(13.45 ml, 0.2 mole)과 ether 50 ml를 교반시키면서 acryloyl chloride(15.87 ml, 0.2 mole)를 가한 다음 열음중탕에서 triethylamine(TEA)[27.88 ml, 0.2 mole]을 2시간 동안 적가한 후 여과하여 생성염을 제거하였다. 여과액을 회전식 간압증발기로 용매를 제거한 후 잔류물을 실리카겔 컬럼(2.5×25 cm)에서 chloroform으로 용리시켰다. 생성물이 함유된 분획(TLC로 확인하였다.)을 모아 용매를 제거시켜 액체상의 CEA 21 g(80%)을 얻었다. <sup>1</sup>H-NMR(CDCl<sub>3</sub>) : 86.4~5.6(m, 3H of vinyl), 4.4(t, COCH<sub>2</sub>), 3.6(t,-CH<sub>2</sub>Cl) ; IR(Neat) : 2980(aliphatic, C-H), 1740(C=O), 1640(C=C of vinyl), 670 cm<sup>-1</sup>(C-Cl).

### 1-Hydroxyethyl-5-fluorouracil(HEFU)의 합성

**방법 A.** 250 ml 각구플라스크에 염화칼슘관이 부착된 리비히 냉각기를 설치하고 5-FU(3 g, 0.022 mole)를 50 ml의 DMF에 완전히 용해시켜 NaH (1.215 g, 0.033 mole)를 가해준 다음 50°C로 유지시키면서 CEA(4.47 ml, 0.033 mole)를 DMF와 함께 1시간 동안 적가한 후 2시간 더 진행시켰다. 반응이 종료(TLC로 확인하였다.)된 후 생성된 염을 제거한 여액을 간압하에서 용매를 제거하여 고체의 잔류물을 얻었다. 고체의 잔류물을 실리카겔 컬럼(2.5×25 cm)에서 CHCl<sub>3</sub> : MeOH(2 : 0.1) 혼합용매로 용리시켜 생성물이 함유된 분획을 모아 용매를 제거한 후 흰색의 결정으로 HEFU 2.85 g(70%)을 얻었다. mp. : 156~156.5°C. <sup>1</sup>H-NMR(DMSO-d<sub>6</sub>) : 88.0(d, J = 8.8 Hz, 1H<sub>6</sub>), 3.8(t, O-CH<sub>2</sub>), 3.6(s, -OH, D<sub>2</sub>O exch.), 2.7(t, N-CH<sub>2</sub>) ; IR(KBr) : 3750~3350(NH & -OH), 3100(arom., CH), 3000~2850(aliphatic, -CH), 1750~1680 cm<sup>-1</sup>(C=O) ; Anal. Calcd for C<sub>6</sub>H<sub>7</sub>N<sub>2</sub>O<sub>3</sub>F : C, 41.39 ; H, 4.05 ; N, 16.09. Found : C, 41.52 ; H, 4.31 ; N, 16.30.

**방법 B.** 염화칼슘관이 설치된 100 ml 플라스크에 5-FU(3 g, 0.022 mole)와 30 ml의 hexamethyldisilazane(HMDS)을 넣고 소량의 (NH<sub>4</sub>)<sub>2</sub>SO<sub>4</sub>를 가한 다음 교반시켰다. 120°C에서 2시간 반응시킨다음 141°C로 승온시킨 후 반응액이 맑게되면 반응을 종결하고 과량의 HMDS를 간압증발기로 제거하였다.

그런 후 CEA(5.9 ml, 0.04 mole)를 첨가하고 60°C에서 10일간 반응시켰다. 반응이 완료된 후 50 ml의 methanol을 가하여 desilylation 5-FU를 분해시키고 여과하였다. 여과액을 회전식 감압증발기에서 용매를 제거한 후 잔류물을 실리카겔 컬럼에서 CHCl<sub>3</sub> : MeOH(2 : 0.1) 혼합용매로 용리시켜 환색결정의 생성물을 얻었다. 생성물의 분석자료는 방법 A로 합성한 HEFU의 것과 동일하였다.

#### 1-Acryloyloxyethyl-5-fluorouracil(AOEFU)의 합성

염화칼슘관이 설치된 100 ml 삼각플라스크에 HEFU(2 g, 0.01 mole)와 THF 40 ml를 넣고 TEA(2.09 ml, 0.015 mole)를 가해준 후 반응온도를 30°C로 유지시키면서 20분간 교반한 다음, acryloyl chloride(1.25 ml, 0.015 mole)를 1시간 동안 적가했다. 반응조건을 일정하게 유지하면서 2시간 동안 반응을 지속시킨 후 생성염을 제거한 여액을 회전식 감압증발기로 용매를 제거한 다음 노란색의 시럽 형태로 AOEFU 1.65 g(72%)을 얻었다. <sup>1</sup>H-NMR(DMSO-d<sub>6</sub>/CDCl<sub>3</sub>) : δ8.5(d, J=8.8 Hz, 1H<sub>e</sub>), 4.0(t, O-CH<sub>2</sub>), 2.8(t, N-CH<sub>2</sub>) ; IR(KBr) : 3500(NH), 3100(arom., CH), 3000(aliphatic, CH), 1750, 1700, 1650(C=O), 1220(C-O-C), 800 cm<sup>-1</sup>(C-F).

속시켰다. 반응이 종료된 후 감압(10°C/10<sup>-3</sup> mmHg) 하에서 용매를 제거한 후 acetone : MeOH(2 : 1) 혼합용매를 가하여 1차 여과하고 다시 MeOH : EtOH(1 : 1) 혼합용매를 가하여 2차 여과하였다. 여액을 실리카겔 컬럼(2.5×25 cm)에서 CHCl<sub>3</sub> : MeOH(10 : 1) 혼합용매로 용리시켜 생성물이 포함되어 있는 분획을 모아 용매를 제거한 다음 진공건조기(20°C/10<sup>-3</sup> mmHg)에서 12시간 건조하여 미색의 Poly(AOEFU) 0.2 g(40%)을 얻었다. <sup>1</sup>H-NMR(DMSO-d<sub>6</sub>/CDCl<sub>3</sub>) : δ8.5(d, J=8.8 Hz, 1H<sub>e</sub>), 4.0(t, O-CH<sub>2</sub>), 2.8(t, N-CH<sub>2</sub>) ; IR(KBr) : 3500(NH), 3100(arom., CH), 3000(aliphatic, CH), 1750, 1700, 1650(C=O), 1220(C-O-C), 800 cm<sup>-1</sup>(C-F).

#### 가수분해반응 속도측정

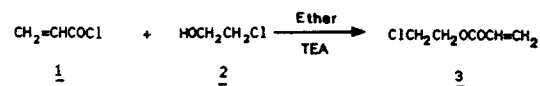
5.0×10<sup>-4</sup> M의 HEFU, AOEFU 및 Poly(AOEFU)를 7.5×10<sup>-3</sup> M의 HCl과의 반응에 대한 분해속도를 유사 일차조건으로 H<sub>2</sub>O : EtOH(1 : 1) 혼합용매를 사용하여 UV spectrophotometer로 측정하였다. 265 nm의 파장을 이용하여 흡광도의 변화로부터 5-fluorouracil의 친유기의 양을 산출하고 이들의 분해반응 속도상수를 구하였다.

#### 열적성질 고찰

HEFU, AOEFU 및 Poly(AOEFU)의 열안정성을 고찰하기 위하여 DTA와 TGA를 사용하여 승온속도 5°C/min와 쳐트속도 5 mm/min로 15°C에서 500°C사이의 열분석도로부터 합성된 5-fluorouracil 유도체들의 열적성질을 검토하였다.

#### 결과 및 고찰

**5-Fluorouracil 유도체의 합성.** 2-chloroethyl acrylate(CEA)는 2-bromoethyl methacrylate의 합성방법<sup>20</sup>을 모방하여 시도하였다. Acryloyl chloride와 2-chloroethanol을 triethylamine(TEA)과 ether속에서 반응시켜 80%의 수율로 CEA을 합성하였다.



Scheme 1

한편, CEA을 5-FU와 직접 반응시켜 AOEFU을 합성하고자 시도하였다. 5-FU을 NaH로 처리하여

상용하는 sodium salt을 만들고 50°C에서 CEA와 반응시켰다. 얻어진 생성물은 처음 예상과는 다르게 1-hydroxyethyl-5-FU가 얻어졌다(수율 70%).

이 화합물은 적외선 스펙트럼에서 NH 및 OH 흡수파이크( $3750\sim3350\text{ cm}^{-1}$ ) 방향족, C-H 흡수파이크( $3100\text{ cm}^{-1}$ ), 지방족 C-H 흡수파이크( $2850\text{ cm}^{-1}$ ) 및 C=O 흡수파이크( $1750\sim1680\text{ cm}^{-1}$ )을 확인 할 수 있었고,  $^1\text{H-NMR}$ 에서는 4개 집단의 양성자신호 [ $2.5(\text{t}, \text{N}-\text{CH}_2)$ ,  $3.7(\text{t}, \text{OCH}_2)$ ,  $5.6\sim6.4(\text{m}, 3\text{H of vinyl})$ ,  $8.0(\text{d}, J=8.8\text{ Hz } 1\text{H}_6)$ ]를 확인할 수 있었다. 그러나 5-FU 고리에 N-hydroxyethylation을 시킬 경우  $\text{N}_1$ -위치 및  $\text{N}_3$ -위치 중 어느 위치에 hydroxyethyl기가 도입되었는지를 확인할 수 없으므로, 이를 확인하기 위해서 Browne 방법<sup>21</sup>을 응용하고자 하였다. Browne에 의하면 silylated uracil 유도체를 alkylation시키면 선택적으로  $\text{N}_1$ -위치에만 alkylation이 된다고 알려져 있다. 따라서 본 연구에서도 silylated-5-FU를 CEA와 반응시켜 방법 A로 얻은 생성물의 분석자료를 방법 B로 얻은 HEFU의 분석자료와 비교한 결과 녹는점, IR,  $^1\text{H-NMR}$ 이 동일하였으므로  $\text{N}_1$ -위치에만 선택적으로 hydroxyethylation이 되었음을 알 수 있었다.

질소헥테로고리 화합물의 N-hydroxyethylation에 대해 알려진 방법으로 adenine에 ethylene carbonate를 반응시켜 합성하는 방법<sup>22</sup>이 있으나, 본 연구에서 시도된 방법은 새로운 방법이다.

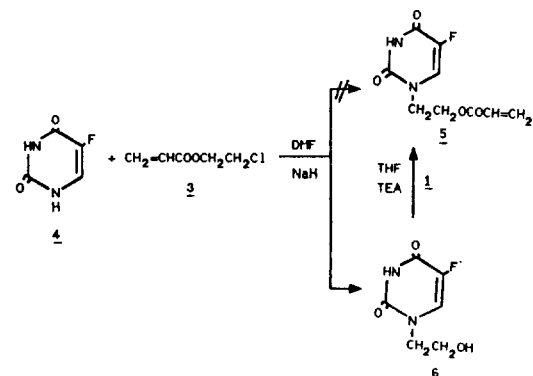
이 방법은 질소헥테로고리 화합물의 N-hydroxyalkylation에서 유용한 방법이 될 수 있으므로 본 연구에서는 이 분야의 연구를 계속할 예정이다.

또한, 이 생성물을 원소분석한 결과 HEFU( $\text{C}_9\text{H}_{10}\text{N}_2\text{O}_4\text{F}_1$ )에 대한 조성계산치는 C : 41.36%, H : 4.02%, N : 16.18% 인데 실험에 의해 얻어진 HEFU의 원소분석 결과는 C : 41.52%, H : 4.31%, N : 16.30% 이었다.

한편, Akashi 등<sup>22</sup>은 adenine sodium salt와 2-bromoethyl methacrylate를 직접반응시켜 N-(2-methacryloyl) ethyladenine을 합성하였으나, pyrimidine 유도체의 경우에는 silylated uracil 유도체와 2-bromoethyl methacrylate를 반응시켜 상용하는  $\text{N}_1$ -alkyl 유도체를 낮은 수율로 합성하였다.

그러나 본 연구에서는 CEA와 5-FU을 salt me-

thod로 AOEFU를 합성할 수 없었고, silylation 방법은 수율이 낮고 또한 분리과정이 까다롭기 때문에 Kondo 등<sup>23</sup>의 방법으로 HEFU와 acryloyl chloride을 triethylamine 존재하에서 반응시켜 AOEFU의 합성을 시도하여 72%로 얻었다.



Scheme 2

합성된 AOEFU는 적외선 스펙트럼에서 NH( $3500\text{ cm}^{-1}$ ), C=O( $1720\sim1680\text{ cm}^{-1}$ , C=C( $1660\text{ cm}^{-1}$ ) 및 C-O-C( $1200\text{ cm}^{-1}$ ) 흡수파이크를 나타내었고,  $^1\text{H-NMR}$  스펙트럼에서 uracil 고리상의 H<sub>6</sub> 양성자파이크( $8.0, \text{d}, J=8.8\text{ Hz}$ ), vinyl기의 양성자파이크( $5.6\sim6.4, \text{m}$ ) 및 두 개의 methylene 양성자파이크 [ $2.5, (\text{t}, \text{N}-\text{CH}_2)$ ;  $3.7, (\text{t}, \text{O}-\text{CH}_2)$ ]들을 확인하였다.

또한, 이 생성물을 원소분석한 결과, AOEFU( $\text{C}_9\text{H}_{10}\text{N}_2\text{O}_4\text{F}_1$ )에 대한 조성계산치는 C : 47.37%, H : 3.97%, N : 12.27% 인데 실험에 의해 얻어진 AOEFU의 원소분석 결과는 C : 47.51%, H : 4.12%, N : 12.49% 이었다.

한편, AOEFU로부터 poly(AOEFU)를 얻기위하여 라디칼 중합을 시도하였으나 원하는 생성물을 얻지 못하였다. 따라서 poly(CEA)를 합성하여 5-FU와 반응시키고자 하였다. CEA를 AIBN으로 처리하여 poly(CEA)를 합성하였다. 5-FU를 NaH로 처리하여 5-FU sodium salt로 만들고 여기에 poly(CEA)을 반응시켜 40%의 수율로 poly(AOEFU)를 합성하였다. 합성된 poly(AOEFU) 치환기의 위치 확인을 위하여, poly(CEA)와 silylated-5FU를 반응시켜 얻은 소량의 생성물과 비교분석한 결과  $\text{N}_1$ -위치에 치환되었음을 확인할 수 있었다<sup>21</sup>.

Poly(AOEFU)의  $^1\text{H-NMR}$ 에서 3개의 양성자파

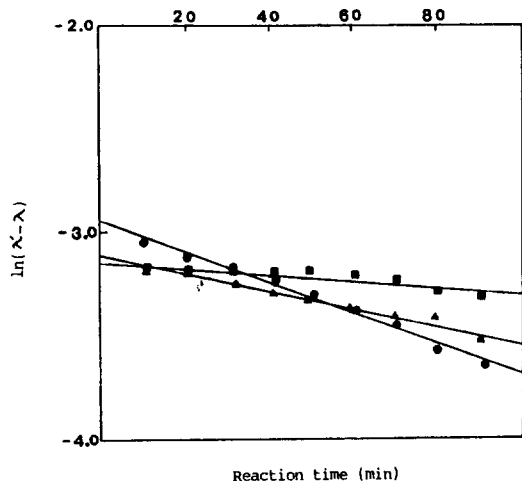


Fig. 1.  $\ln(\lambda' - \lambda)$  as a function of the reaction time for the reaction of 5-FU derivatives and HCl.  
 ● : HEFU ; ▲ : AOEFU ; ■ : Poly(AOEFU).

Table 1. The absorbance on the reaction of HEFU and HCl in ethanol-water mixture(1 : 1) at 265 nm Temp. : 37°C,  $[HEFU] = 5.0 \times 10^{-4} M$ ,  $[HCl] = 7.5 \times 10^{-3} M$

Time(min)	$\lambda_{265}$	$t \times \Delta$	$\lambda'_{265}$	$-\ln(\lambda' - \lambda)$
10	2.304	310	2.352	3.04
20	2.308	320	2.353	3.10
30	2.312	330	2.354	3.17
40	2.316	340	2.356	3.22
50	2.320	350	2.357	3.30
60	2.324	360	2.358	3.38
70	2.327	370	2.359	3.44
80	2.332	380	2.359	3.61
90	2.336	390	2.360	3.73

이크립단 [2.8(t, N-CH<sub>2</sub>) : 4.0(t, O-CH<sub>2</sub>) : 7.5(d, J=8.8, 1H<sub>6</sub>)]을 확인할 수 있었고 IR에서도 NH (3500 cm<sup>-1</sup>), C=O(1750, 1700, 1650 cm<sup>-1</sup>), C-O-C(1220 cm<sup>-1</sup>) 및 C-F(800 cm<sup>-1</sup>)을 관찰하였다.

**5-fluorouracil 유도체의 가수분해반응 속도측정.** 5-fluorouracil 유도체의 지속적인 항암효과를 기대하기 위하여 5-fluorouracil을 함유하고 있는 H<sub>2</sub>O : EtOH(1 : 1) 혼합용매를 사용하여 유사 일차조건으로  $5.0 \times 10^{-4} M$ 의 시료를  $7.5 \times 10^{-2} M$ 의 HCl과 반응시켰다. 이 때 분해되어 방출되는 5-FU 잔기의 양을 265 nm에서 시간에 따른 흡광도의 변화를 측

Table 2. The absorbance on the reaction of AOEFU and HCl in ethanol-water mixture(1 : 1) at 265 nm Temp. : 37°C,  $[AOEFU] = 5.0 \times 10^{-4} M$ ,  $[HCl] = 7.5 \times 10^{-3} M$

Time(min)	$\lambda_{265}$	$t \times \Delta$	$\lambda'_{265}$	$-\ln(\lambda' - \lambda)$
10	2.316	310	2.357	3.17
20	2.318	320	2.359	3.19
30	2.322	330	2.361	3.24
40	2.325	340	2.362	3.30
50	2.328	350	2.364	3.32
60	2.331	360	2.366	3.35
70	2.335	370	2.368	3.41
80	2.338	380	2.370	3.34
90	2.341	390	2.371	3.51

Table 3. The absorbance on the reaction of AOEFU and HCl in ethanol-water mixture(1 : 1) at 265 nm Temp. : 37°C,  $[AOEFU] = 5.0 \times 10^{-4} M$ ,  $[HCl] = 7.5 \times 10^{-3} M$

Time(min)	$\lambda_{265}$	$t \times \Delta$	$\lambda'_{265}$	$-\ln(\lambda' - \lambda)$
10	2.391	310	2.432	3.19
20	2.393	320	2.435	3.17
30	2.395	330	2.437	3.17
40	2.398	340	2.439	3.19
50	2.400	350	2.442	3.17
60	2.403	360	2.444	3.19
70	2.406	370	2.446	3.21
80	2.409	380	2.446	3.30
90	2.413	390	2.449	3.32

정하고, Guggenheim<sup>24</sup>식에 적용하여 계산된 인자들을 이용하여 시간의 변화에 따른  $\ln(\lambda' - \lambda)$ 를 도시한 그래프로부터 직선의 기울기를 최소자승법으로 구하여 반응속도상수  $k$ 를 구하였다.

$$\ln(\lambda' - \lambda) + k_{\text{obs}} t = \text{constant}$$

여기서  $\lambda$ 는 시간에 따른 흡광도이고,  $\lambda'$ 는  $t \times \Delta$ 에서의 흡광도이며  $\Delta$ 는 상수 증가분으로써 재현성있는  $k_{\text{obs}}$ 를 구하기 위하여 본 연구에서는 5시간을 이용하였다. Fig. 1과 Table 1~3으로부터 구한 5-FU 유도체의 반응속도상수는 HEFU가  $1.38 \times 10^{-4} \text{ sec}^{-1}$ , AOEFU가  $9.25 \times 10^{-5} \text{ sec}^{-1}$ , Poly(AOEFU)가  $4.16 \times 10^{-5} \text{ sec}^{-1}$ 로 각각 나타났다.

또한, 본 실험에서 구한 분해 속도상수 값들을

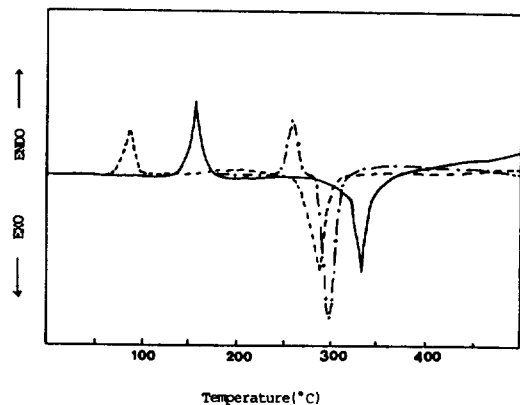


Fig. 2. DTAThermogram of 5-FU derivatives.  
— : HEFU ; --- : AOEPU ; - - - : Poly(AOEPU).

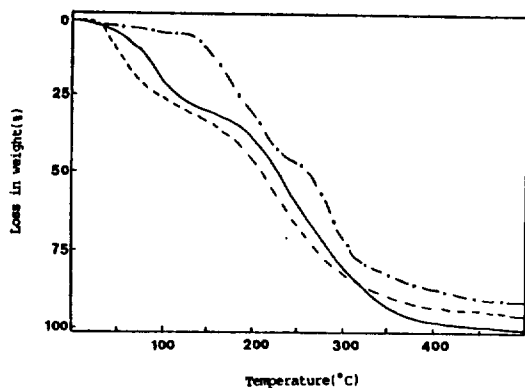


Fig. 3. TGA thermogram of 5-FU derivatives.  
— : HEFU ; --- : AOEPU ; - - - : Poly(AOEPU).

Butler<sup>25</sup>의 실험결과와 비교해 본 결과, 1-(2-carbo-methoxy acryloyl)-5-fluorouracil을 dioxane : H<sub>2</sub>O (1 : 1) 혼합용매에서 가수분해시켜 얻어진  $6.25 \times 10^{-4}$ /sec 보다도 더 낮은 값임을 알 수 있었다. 그러므로 새로이 합성된 5-fluorouracil 유도체인 1-hydroxyethyl-5-fluorouracil, 1-acryloyloxyethyl-5-fluorouracil, poly(1-acryloyloxyethyl-5-fluorouracil)들을 항암제에 응용할 경우 다른 5-fluorouracil 유도체보다도 약효를 오래 지속시킬 수 있다고 본다.

**5-Fluorouracil 유도체의 열적성질.** Fig. 2와 3에 나타난 HEFU, AOEPU, Poly(AOEPU)들에 대한 DTA와 TGA의 결과를 보면, 생체의 최적온도인 37°C 부근에서는 작용기의 분해에 의한 흡수피크와 무게 감소가 나타나지 않음을 볼 수 있다. Fig. 2에

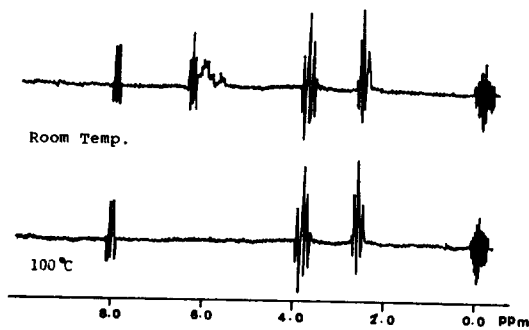


Fig. 4. NMR spectra of AOEPU after thermal degradation at 100°C.

나타난 DTA의 결과에서는 AOEPU의 경우, 대략 90°C 부근에서 작용기의 분해에 의한 흡수피크가 나타났다. 또한, Fig. 3의 TGA 결과에서도 90°C 부근에서 작용기의 분해에 의한 대략 25%의 무게 감소현상이 일어났다. 그리고 이들 유도체 중에서 가장 열적으로 불안정한 AOEPU를 100°C로 가열한 후 그 잔유물을 <sup>1</sup>H-NMR로 확인해본 결과 δ 6.4~5.6에서 나타났던 CH<sub>2</sub>=CH의 다중선 피크가 사라짐을 볼 수 있다(Fig. 4).

이와 같은 결과로 볼 때 합성된 5-fluorouracil 유도체들은 생체의 최적온도인 37°C 부근에서는 전혀 분해가 일어나지 않음을 알 수 있다.

## 결 론

출발물질인 2-chloroethyl acrylate는 acryloyl chloride와 2-chloro ethanol의 축합반응으로 80%의 수율로 얻었으며, 1-hydroxyethyl-5-fluorouracil은 70%의 수율로 얻었다. 특히 1-acryloyloxyethyl-5-fluorouracil의 합성을 위해 반응조건을 Kondo 등<sup>23</sup>이 methacryloyloxyethyl uracil을 합성할 때 사용한 방법과 달리 함으로써 72%의 높은 수율로 얻을 수 있었다. 이처럼 1-acryloyloxyethyl-5-fluorouracil(5)을 합성할 때, 5-fluorouracil과 2-chloroethyl acrylate를 반응시킬 경우에는 거의 5 화합물을 얻을 수 없으나, 반응조건을 달리하여 6 화합물을 acryloyl chloride와 반응시킬 때에는 아주 높은 수율로 얻을 수 있었다. 그러므로 항암제로 사용되는 5-fluorouracil 유도체의 합성에 이와 같은 비교적 간단한 합성방법을 이용함으로써 좋은 결과를 얻을 수 있

다고 사료된다.

또한 염산에 대한 1-hydroxyethyl-5-fluorouracil의 가수분해반응 속도상수 :  $k = 1.38 \times 10^{-4}/\text{sec}$ , 1-acryloyloxyethyl-5-fluorouracil의 가수분해반응 속도상수 :  $k = 9.25 \times 10^{-5}/\text{sec}$ , poly(1-acryloyloxyethyl-5-fluorouracil)의 가수분해반응 속도상수 :  $k = 4.16 \times 10^{-5}/\text{sec}$ 로서 이들의 가수분해 속도가 느린 정도는 Poly(AOEFU) > AOEFU > HEFU 순으로 나타나므로, Poly(AOEFU)가 가장 지속성 있는 5-FU 유도체라고 본다.

합성체의 열적성질을 1차 열분해 온도로 비교해 보면 Poly(AOEFU)가 가장 열적으로 안정한 1차 분해점을 가지고 있음을 알 수 있다.

열분석을 통하여 볼때 생체의 최적온도인 37°C에서는 이들 화합물 모두 안정하므로, 분해 생성물에 의한 유리기들의 인체에 미치는 부작용 보다는 가수분해에 의한 약효가 뚜렷할 것으로 기대된다.

이 논문은 1989년도 문교부지원 한국학술진흥재단의 자유공모과제 학술연구조성비에 의해 연구 되었음.

### 인 용 문 헌

1. M. Yasumoto, *J. Med. Chem.*, **21**(8), 738 (1978).
2. T. Kametani, *et al.*, *J. Med. Chem.*, **23**, 1324 (1980).
3. T. Ouchi and H. Yuyama, *Eur. Pol. J.*, **22**(7), 537 (1986).
4. M. Akashi, *J. Bioactivity and Campatible Polymers*, **2**, 120 (1987).
5. T. Ouchi, *et al.*, *Macromol. Chem. Rapid Commun.*, **6**, 815 (1985).
6. T. Ouchi, *Baidtekunokoji Kenkyu Hokokusho*, 112 (1986).
7. T. Ouchi, *et al.*, *J. Polym. Sci.*, **23**, 2059 (1986).
8. S. Ahamad, *Chem. Pharm. Bull.*, **35**(10), 4137 (1987).
9. A. F. Cook, *et al.*, *J. Med Chem.*, **2**(11), 1330 (1979).
10. F. Hiroshi, *et al.*, *Kagaku Kyoho No Ryoiki*, **3**(10), 1436 (1987).
11. T. Nisitani, *J. Org. Chem.*, **47**(9), 1706 (1982).
12. S. Ozaki and Y. Iky, *Bull. Chem. Soc. Japan*, **50**(9), 2406 (1977).
13. S. Ozaki, *et al.*, *Heterocycles*, **20**(12), 2429 (1983).
14. R. W. Brokman and E. P. Anderson, *Biochemistry of Cancer*, 463 (1962).
15. A. D. Jenkins, *Ed. Pergamon. Oxford*, **4**, 1 (1975).
16. G. B. Butler, *et al.*, *J. Polym. Sci.*, **17**, 351 (1979).
17. M. Tada, *et al.*, *Bull. Chem. Soc. Japan*, **50**(8), 2197 (1975).
18. M. Akashi, *et al.*, *J. Polym. Sci.*, **17**, 905 (1979).
19. N. M. Brahme, *et al.*, *Polymer Chemistry Edition*, **22**, 813 (1984).
20. S. Krause, *et al.*, *J. Polym. Sci., part A*, **3**, 3573 (1965).
21. D. T. Browne, "Synthetic Procedure in Nucleic Acid Chemistry", edited by W. W. Zorbach and R. S. Tipson, Interscience Publ., John Wiley & Sons, New York, p.96, 1968.
22. M. Akashi, *et al.*, *Makromol.*, **178**, 1211 (1977).
23. K. Kondo, *Die Makromolekulare Chem.*, **120**, 21 (1968).
24. R. D. Gilliom, "Introduction of Physical Organic Chemistry", 1st ed., Tam Gu Dang, p.126, 1987.
25. G. B. Butler, *et al.*, *J. Macromol. Sci-Chem.*, **13**(3), 351 (1979).